



04-07/GP/PM-279.

Contacto entre los metasedimentos (PC-Se)
algo migmatizados y la granodiorita pre-
coz con megacristales ($b \gamma m^2$).



04-07/GP/PM-292.

Plano de deslizamiento (¿plano de cizaña?) en el granitoide migmatítico (Ψ^2).



04-07/GP/PM-302.

Pliegues tardios en los esquistos (PC-Se)
magmatizados.



04-07/GP/PM-306.

"Kink-bands" en los esquistos (PC-Se) algo migmatizados.



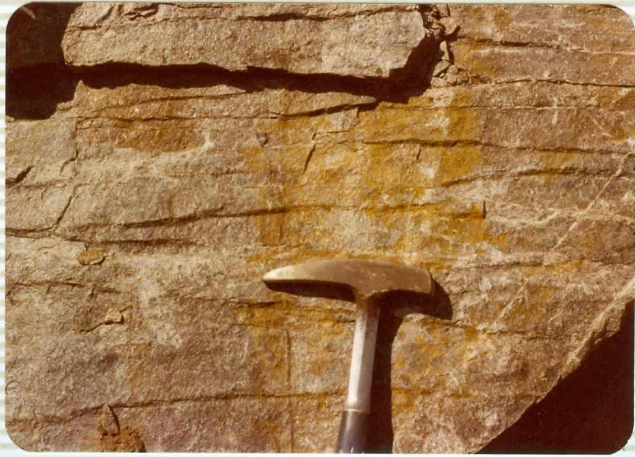
04-07/GP/PM-307.

Pliques "chevron" en los esquistos (PC-Se)
algo migmatizados.

04-07/GP/PM-323.

Pliegue de segunda fase en un nivel de cuar
citas (PC-Se). Estas con abundantes cuarzos
de exudación.





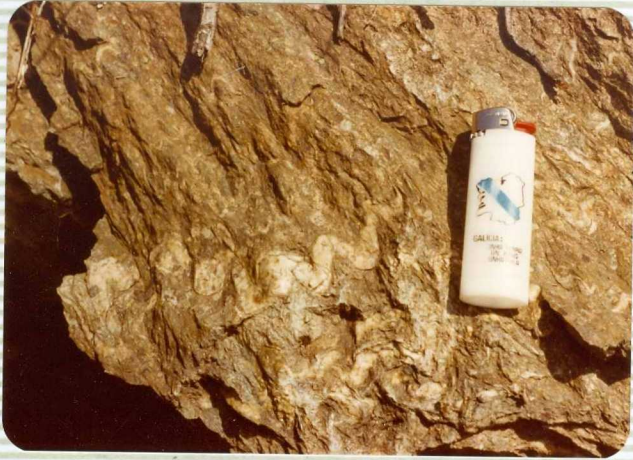
04-07/GP/PM-329.

"Kink-bands" en el ortoneis biotítico
 $(N\gamma_b^1)$



04-07/GP/PM-330.

Cristal de feldespato aplastado en el ortoneis biotítico ($N\gamma_b^1$)



04-07/GP/PM-334.

Micropliegues de segunda fase marcados por filoncillos de cuarzo, en los esquistos y paraneiseses (PC-CAE)



04-07/GP/PM-335.

Micropliegues singenéticos con la esquisto-sidad S'_1 en el ortoneis biotítico ($N\gamma_b^1$)



04-07/GP/PM-336.

Idem anterior.



04-07/GP/PM-337.

Aspecto del ortoneis biotítico ($N\gamma_b^1$). Glan-
dulas de feldespato deformados con sombra
de presión